

УСТОЙЧИВОСТЬ И БИФУРКАЦИЯ СТАЦИОНАРНЫХ ВРАЩЕНИЙ
СВОБОДНОГО ТВЕРДОГО ТЕЛА
И УПРУГО СВЯЗАННОЙ С НИМ ТОЧЕЧНОЙ МАССЫ

Н. В. ПАНКОВА, В. Н. РУБАНОВСКИЙ

(Москва)

Рассматривается задача о движении по инерции свободной механической системы, состоящей из динамически симметричного твердого тела и упруго связанной с ним материальной точки. На основе [1, 2] исследована устойчивость и бифуркация всех стационарных вращений системы. Множество этих движений представлено геометрически в виде кривой $k=k(\omega)$, где k — постоянная интеграла площадей, ω — угловая скорость стационарного вращения системы. Распределение устойчивых и неустойчивых движений на ветвях кривой $k=k(\omega)$ подчиняется закону смены устойчивости при фиксированном значении параметра k , при этом изменение степени неустойчивости этих движений происходит лишь в точках бифуркации.

1. Рассмотрим движение по инерции свободной механической системы, состоящей из динамически симметричного твердого тела и точечной массы, связанной с телом при помощи безынерционной пружины и движущейся по прямой, которая лежит в экваториальной плоскости центрального эллипсоида инерции тела.

Введем правые прямоугольные системы осей координат: кенигуову $Cxyz$; подвижную $Czz'z''$ с началом в центре масс системы C , вращающуюся вокруг оси z с некоторой угловой скоростью ω ; связанную $Ox_1x_2x_3$ с началом в центре масс тела O и осями, направленными по главным осям центрального эллипсоида инерции.

Не ограничивая общности, будем считать, что материальная точка массы m движется относительно тела по прямой, заданной уравнениями $x_2=b$, $x_3=0$, и значение $x_1=a$ соответствует положению точки, для которого пружина находится в недеформированном состоянии. Отклонение точки от положения $x_1=a$ обозначим через $s=x_1-a$.

При движении системы относительно осей Кенига имеют место интегралы энергии $T+cs^2/2=\text{const}$ и площадей $G \cdot \gamma = k = \text{const}$, где T — кинетическая энергия системы, c — жесткость пружины, G — вектор кинетического момента системы относительно ее центра масс, γ — орт оси z , проекции которого на оси x_i ($i=1, 2, 3$) обозначим через γ_i (при этом $\Gamma = \gamma_1^2 + \gamma_2^2 + \gamma_3^2 - 1 = 0$). Обозначая через G_* вектор кинетического момента системы относительно точки C в ее движении относительно осей $Czz'z''$, представим интеграл площадей в виде $G_* \cdot \gamma + \omega S = k$, где S — момент инерции системы относительно оси z . Величину ω выберем так, чтобы в любой момент времени имело место равенство $G_* \cdot \gamma = 0$.

Тогда будем иметь $\omega S = k$, и интеграл энергии можно представить в виде $T_* + W = \text{const}$, где T_* — кинетическая энергия относительного движения системы, $W = k^2/2S + cs^2/2$ — измененная потенциальная энергия системы.

Для S будем иметь выражение

$$S = (J + \mu b^2) \gamma_1^2 + [J + \mu(a+s)^2] \gamma_2^2 + \{I + \mu[b^2 + (a+s)^2]\} \gamma_3^2 - 2\mu b(a+s) \gamma_1 \gamma_2$$

где $\mu = Mm(M+m)^{-1}$, M — масса твердого тела, J и I — осевой и экваториальный моменты инерции тела (далее предполагается $I > J$).

Вместо W будем рассматривать функцию $W_* = W + \lambda \Gamma / 2$, где λ — неопределенный множитель Лагранжа.

2. Согласно теореме Рауса значения переменных $\gamma_1, \gamma_2, \gamma_3, s$, для которых W имеет стационарные значения, соответствуют некоторым действительным движениям системы и могут быть определены из уравнений

$$\begin{aligned} \partial W_*/\partial \gamma_1 &= -k^2 \{(J+\mu b^2) \gamma_1 - \mu b(a+s) \gamma_2\} / S^2 + \lambda \gamma_1 = 0 \\ \partial W_*/\partial \gamma_2 &= -k^2 \{[J+\mu(a+s)^2] \gamma_2 - \mu b(a+s) \gamma_1\} / S^2 + \lambda \gamma_2 = 0 \\ \partial W_*/\partial \gamma_3 &= -k^2 \{I + \mu [b^2 + (a+s)^2]\} \gamma_3 / S^2 + \lambda \gamma_3 = 0 \\ \partial W_*/\partial s &= -k^2 \{\mu(a+s)(\gamma_1^2 + \gamma_2^2) - \mu b \gamma_1 \gamma_2\} / S^2 + c s = 0 \\ \partial W_*/\partial \lambda &= 1/2(\gamma_1^2 + \gamma_2^2 + \gamma_3^2 - 1) = 0 \end{aligned} \quad (2.1)$$

Решения уравнений (2.1) описывают равномерные вращения системы как одного твердого тела вокруг оси z с угловой скоростью $\omega = kS_0^{-1}$, где индекс ноль указывает, что соответствующая величина вычисляется для рассматриваемого решения уравнений (2.1).

Уравнения (2.1) имеют следующие три семейства решений:

$$\begin{aligned} \gamma_1 = \gamma_2 = 0, \quad \gamma_3 = \pm 1, \quad s = \frac{\omega^2 \mu a}{c - \omega^2 \mu}, \quad \lambda = \{I + \mu [b^2 + (a+s)^2]\} \omega^2 \\ k = \omega S = (I + \mu b^2) \omega + \omega \mu a^2 c^2 / (c - \omega^2 \mu)^2 \end{aligned} \quad (2.2)$$

$$\begin{aligned} \gamma_3 = 0, \quad (a+s) \gamma_1 + b \gamma_2 = 0, \quad [b^2 + (a+s)^2] \gamma_1^2 = b^2 \\ s = \omega^2 \mu a / (c - \omega^2 \mu), \quad \lambda = \{J + \mu [b^2 + (a+s)^2]\} \omega^2 \\ k = \omega S = (J + \mu b^2) \omega + \omega \mu a^2 c^2 / (c - \omega^2 \mu)^2 \end{aligned} \quad (2.3)$$

$$\gamma_3 = 0, \quad b \gamma_1 = a \gamma_2, \quad (a^2 + b^2) \gamma_2^2 = b^2, \quad s = 0, \quad \lambda = J \omega^2, \quad k = J \omega \quad (2.4)$$

Эти решения описывают вращения системы вокруг осей, проходящих через центр масс системы. Для движений (2.2) ось вращения ортогональна экваториальной плоскости эллипсоида инерции тела, а для движений (2.3), (2.4) лежит в экваториальной плоскости; при этом для движений (2.3) точечная масса лежит на прямой, проходящей через центр масс системы и перпендикулярной оси вращения, а для движений (2.4) лежит на оси вращения.

Рассмотрим, например, движения (2.2). Каждому значению ω , определяемому последним из соотношений в (2.2) при фиксированном значении постоянной k , соответствует одно и только одно стационарное вращение системы, которое следует из формул (2.2). Таким образом, семейство стационарных вращений (2.2) можно представить геометрически в виде кривой $k = k(\omega)$, определяемой последним из соотношений в (2.2).

На фиг. 1 семейства движений (2.2)–(2.4) представлены в виде кривых I, II, III соответственно ($\omega_*^2 = c \mu^{-1}$).

3. Исследуем устойчивость движений (2.2)–(2.4) по отношению к величинам $\omega_i, \gamma_i, s, s = ds/dt$ ($i = 1, 2, 3$), где ω_i — проекции на оси x_i вектора угловой скорости тела при движении системы относительно осей Czz'' . С этой целью воспользуемся теоремой Рауса, в силу которой условия устойчивости движений (2.2)–(2.4) можно получить как условия положительной определенности второй вариации $\delta^2 W_*$ на линейном многообразии $\delta \Gamma / 2 = \gamma_1 \alpha_1 + \gamma_2 \alpha_2 + \gamma_3 \alpha_3 = 0$, где α_i ($i = 1, 2, 3$) — возмущения величин γ_i (возмущение величины s обозначим через α).

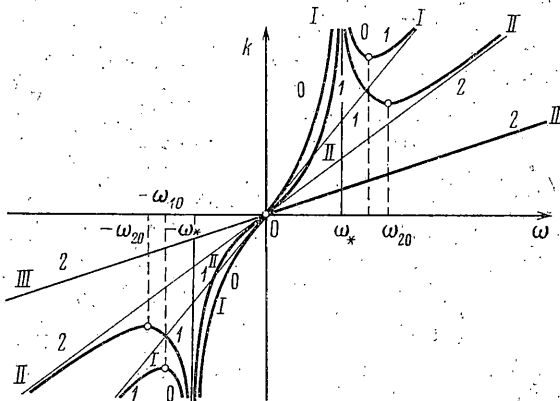
Рассмотрим движения (2.2); для них имеем

$$\delta^2 W_* = [c - \omega^2 \mu + 4S^{-1}\omega^2 \mu^2 (a+s)^2] \alpha^2 + \omega^2 \{[I - J + \mu(a+s)^2] \alpha_1^2 - 2\mu b(a+s) \alpha_1 \alpha_2 + (I - J + \mu b^2) \alpha_2^2\}$$

Требование положительной определенности $\delta^2 W_*$ приводит к условиям

$$\begin{aligned} \omega^2 [I - J + \mu(a+s)^2] &> 0, \quad \omega^2 (I - J) \{I - J + \mu[b^2 + (a+s)^2]\} > 0 \\ D_1 = c - \omega^2 \mu + 4S^{-1}\omega^2 \mu^2 (a+s)^2 &= \mu S^{-1} (\omega_*^2 - \omega^2) dk/d\omega > 0 \end{aligned}$$

В предположении $I > J$ первые два из этих неравенств удовлетворяются, если $\omega \neq 0$. Анализ последнего неравенства элементарен. Действительно, если $\omega^2 < \omega_*^2$, то (фиг. 1, кривая I) $dk/d\omega > 0$ и, следовательно, $D_1 > 0$. Для $\omega^2 > \omega_*^2$ имеем $dk/d\omega < 0$, если $\omega_*^2 < \omega^2 < \omega_{10}^2$, и $dk/d\omega > 0$, если $\omega^2 > \omega_{10}^2$, где $\omega = \pm \omega_{10}$ — вещественные корни уравнения $dk/d\omega = 0$. Таким образом, $D_1 > 0$, если $\omega_*^2 < \omega^2 < \omega_{10}^2$, и $D_1 < 0$, если $\omega^2 > \omega_{10}^2$. Отсюда на основе теоремы Рууса заключаем, что движения (2.2) для $0 < \omega^2 < \omega_{10}^2$ ($\omega^2 \neq \omega_*^2$) устой-



Фиг. 1

чивы (при этом степень неустойчивости χ равна нулю); для $\omega^2 > \omega_{10}^2$ движения (2.2) неустойчивы и $\chi = 1$; значениям $\omega = 0$ и $\omega = \pm \omega_{10}$ соответствуют точки бифуркации.

Для семейства движений (2.3) получим

$$\begin{aligned} \delta^2 W_* = [c - \omega^2 \mu \gamma_2^2 + 4S^{-1}\omega^2 \mu^2 (a+s)^2] \alpha^2 + 2\omega^2 \mu b^{-1} \gamma_1 [b^2 + (a+s)^2] \alpha \alpha_2 + \\ + \omega^2 \mu b^{-2} [b^2 + (a+s)^2]^2 \alpha_2^2 + \omega^2 (J - I) \alpha_3^2 \end{aligned}$$

Условия положительной определенности $\delta^2 W_*$ приводятся к неравенствам

$$\begin{aligned} \omega^2 (J - I) &> 0, \quad \omega^2 \mu b^{-2} [b^2 + (a+s)^2]^2 > 0 \\ D_2 = \omega^2 \mu b^{-2} [b^2 + (a+s)^2]^2 [c - \omega^2 \mu \gamma_2^2 + 4S^{-1}\omega^2 \mu^2 (a+s)^2] - \\ - \omega^4 \mu^2 b^{-2} \gamma_1^2 [b^2 + (a+s)^2]^2 &= S^{-1} \mu^2 b^{-2} [b^2 + (a+s)^2]^2 \omega^2 (\omega_*^2 - \omega^2) dk/d\omega > 0. \end{aligned}$$

Если $I > J$ и $\omega \neq 0$, то первое из этих неравенств не выполняется, второе выполняется, а анализ третьего показывает, что $D_2 > 0$ для $0 < \omega^2 < \omega_{20}^2$ ($\omega^2 \neq \omega_*^2$) и $D_2 < 0$ для $\omega^2 > \omega_{20}^2$, где $\omega = \pm \omega_{20}$ — вещественные корни уравнения $dk/d\omega = 0$ (при этом $\omega_{20} > \omega_{10}$).

Отсюда заключаем, что для движений (2.3) $\chi=1$, если $0 < \omega^2 < \omega_{20}^2$ ($\omega^2 \neq \omega_*^2$), и $\chi=2$, если $\omega^2 > \omega_{20}^2$. Значениям $\omega=0$ и $\omega=\pm\omega_{20}$ соответствуют точки бифуркации.

Наконец, для движений (2.4) имеем

$$\delta^2 W_* = (c - \omega^2 \mu \gamma_2^2) \alpha^2 + 2\omega^2 \mu b^{-1} \gamma_2 (a^2 + b^2) \alpha \alpha_1 - \omega^2 \mu b^{-2} (a^2 + b^2)^2 \alpha_1^2 - \omega^2 [I - J + \mu (a^2 + b^2)] \alpha_3^2$$

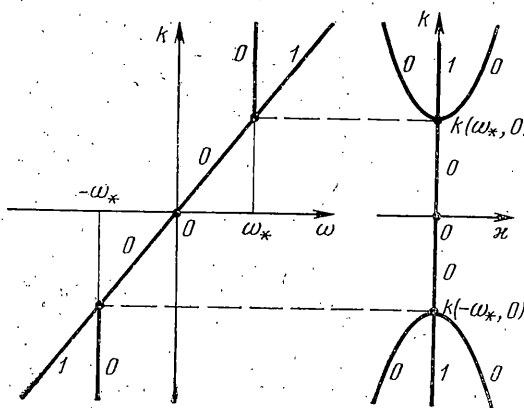
Условия положительной определенности $\delta^2 W_*$ имеют вид

$$\omega^2 \mu b^{-2} (a^2 + b^2)^2 < 0, \quad \omega^2 [I - J + \mu (a^2 + b^2)] < 0$$

$$D_3 = -(c - \omega^2 \mu \gamma_2^2) \omega^2 \mu b^{-2} (a^2 + b^2)^2 - \omega^4 \mu^2 b^{-2} \gamma_2^2 (a^2 + b^2)^2 = -\omega^2 \mu c b^{-2} (a^2 + b^2)^2 > 0$$

Если $I > J$ и $\omega \neq 0$, то ни одно из этих неравенств не выполняется. Следовательно, для движений (2.4) $\chi=2$, если $\omega \neq 0$; значению $\omega=0$ соответствует точка бифуркации.

Результаты проведенного исследования устойчивости и бифуркации движений (2.2)–(2.4) представлены на фиг. 1. Цифры 0, 1, 2 на ветвях



Фиг. 2

кривых I, II, III указывают степень неустойчивости соответствующих движений. Изменение степени неустойчивости на ветвях кривой $k=k(\omega)$ происходит лишь в точках бифуркации, для которых $\omega=0, \pm\omega_{10}, \pm\omega_{20}$.

Отметим, что если среди движений (2.3) и (2.4), для которых $\chi=2$, имеются устойчивые, то их устойчивость носит гироскопический характер и разрушается при добавлении диссипативных сил с полной диссипацией (достаточно частичной диссипации по координате s). Устойчивость движений (2.2), для которых $\chi=0$, носит вековой характер и упрочняется до асимптотической устойчивости при наличии полной диссипации (достаточно частичной диссипации по координате s).

Отметим также, что указанное на фиг. 1 распределение степени неустойчивости движений (2.2)–(2.4) на ветвях кривой $k=k(\omega)$ справедливо и в случае, когда $b=0$.

4. Рассмотрим теперь случай, когда $a=0$. В этом случае уравнения (2.1) допускают следующие три семейства решений:

$$\gamma_1 = \gamma_2 = 0, \quad \gamma_3 = \pm 1, \quad s = \kappa \delta (\omega^2 - \omega_*^2), \quad \lambda = [I + \mu (b^2 + s^2)] \omega^2$$

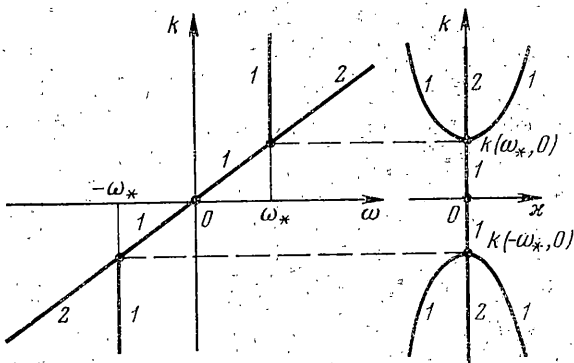
$$k = k(\omega, \kappa) = \omega S = \{I + \mu [b^2 + \kappa^2 \delta (\omega^2 - \omega_*^2)]\} \omega \quad (4.1)$$

$$\begin{aligned} \gamma_3 &= 0, \quad s\gamma_1 + b\gamma_2 = 0, \quad (b^2 + s^2)\gamma_1^2 = b^2 \\ s &= \kappa\delta(\omega^2 - \omega_*^2), \quad \lambda = [J + \mu(b^2 + s^2)]\omega^2 \\ k &= k(\omega, \kappa) = \omega S = \{J + \mu[b^2 + \kappa^2\delta(\omega^2 - \omega_*^2)]\}\omega \end{aligned} \quad (4.2)$$

$$\gamma_3 = 0, \quad b\gamma_1 = 0, \quad b^2\gamma_2^2 = b^2, \quad s = 0, \quad \lambda = J\omega^2, \quad k = k(\omega) = \omega S = J\omega \quad (4.3)$$

Здесь κ — вещественный параметр; $\delta(x) = 0$, если $x \neq 0$, и $\delta(0) = 1$.

Рассмотрим семейство движений (4.1). Множество этих движений можно представить [2] геометрически в пространстве (k, ω, κ) в виде кривой L , отдельные ветви которой лежат в плоскостях $\kappa = 0$ и $\omega = \pm\omega_*$ и определяются уравнениями $k = k(\omega, 0)$, $\kappa = 0$; $k = k(\omega_*, \kappa)$, $\omega = \omega_*$; $k = k(-\omega_*, \kappa)$, $\omega = -\omega_*$. Первая из этих ветвей кривой L имеет по одной



Фиг. 3

общей точке со второй и третьей ветвями. Эти точки соответствуют значениям $\omega = \pm\omega_*$, $\kappa = 0$ и являются точками бифуркации.

На фиг. 2, 3 показан вид проекций кривой L для решений (4.1) (фиг. 2) и (4.2) (фиг. 3). Указанное здесь распределение степени неустойчивости $\chi = 0, 1, 2$ на ветвях кривой L подчиняется закону смены устойчивости при фиксированном значении параметра k (изменение степени неустойчивости происходит лишь в точках бифуркации, для которых $\omega = 0$, $\kappa = 0$, $\omega = \pm\omega_*$, $\kappa = 0$).

Значению $\omega = 0$ соответствует безразличное положение равновесия системы, которое принадлежит каждому из семейств движений (4.1)–(4.3). Исследование движений (4.3) было проведено в п. 3:

Поступила 14 VIII 1975

ЛИТЕРАТУРА

1. Рубановский В. Н. О бифуркации и устойчивости стационарных движений. София, Теоретична и приложна механика, 1974, год 5, № 1.
2. Рубановский В. Н. О бифуркации и устойчивости стационарных движений в некоторых задачах динамики твердого тела. ПММ, 1974, т. 38, вып. 4.